

ИЗМЕНЕНИЯ СОСУДОВ ГОЛОВНОГО МОЗГА У ПАЦИЕНТОВ С ГЛИОБЛАСТОМОЙ ПОСЛЕ ЛУЧЕВОЙ ТЕРАПИИ

*A.C. Балканов, Л.Е. Гаганов, П.Ю. Поляков, И.А. Качков
МОНИКИ им. М.Ф. Владимирского, г. Москва, Россия*

Результаты лечения злокачественной глиомы головного мозга остаются малоутешительными несмотря на то, что при лечении этой патологии используется комбинация лечебных методов, включающая, кроме хирургического и химиотерапевтического, также и лучевую терапию [6]. Рецидив у пациентов с наиболее прогностически неблагоприятной злокачественной глиомой – глиобластомой возникает уже через 8 - 10 месяцев [8, 13]. Традиционно при рецидиве глиобластомы пациенту назначается химиотерапевтическое лечение, но недостаточная эффективность и высокая стоимость химиотерапевтических агентов последнего поколения не решают проблемы низкой продолжительности жизни у таких пациентов [4, 5, 14].

В последнее время появились сообщения о попытках применения у пациентов с рецидивом глиомы повторного облучения [3]. Однако без всестороннего изучения изменений в ткани головного мозга, возникших в разные сроки после его облучения в суммарной дозе 50-60 Гр, подобная практика может быть сопряжена с утяжелением степени уже существующих лучевых повреждений вещества и сосудов мозга.

В эксперименте описаны изменения, возникающие в сосудах мозга облученных животных в зависимости от дозы и интервала времени, прошедшего от начала облучения [12]. Что касается повреждений, вызванных облучением в головном мозге человека, то основное внимание уделяется лишь наиболее тяжелому из них – лучевому некрозу [10].

В своей работе мы попытались оценить степень и характер изменений, вызванных облучением, в мелких сосудах головного мозга, а также установить хронологию их возникновения после радиального курса лучевой терапии у больных со злокачественной глиомой.

Были исследованы фрагменты вещества мозга на границе опухоли и здоровой ткани. У 4 пациентов с рецидивом глиобластомы ткань мозга получена во время повторной операции. Аутопсийный материал получен у пациента, умершего от инфаркта миокарда во время проведения послеоперационного курса лучевой терапии по поводу глиобластомы. На момент смерти суммарная доза облучения в зоне ложа удаленной опухоли равнялась 10 Гр. Возраст больных составил от 32 до 58 лет, средний возраст – 44 года.

В качестве контроля исследован операционный материал, полученный при резекции глиобластомы у пациента, ранее не получавшего облучения головного мозга.

II. СОВРЕМЕННЫЕ МЕДИЦИНСКИЕ ТЕХНОЛОГИИ

Патоморфологическая оценка состояния сосудов осуществлялась в гистологических срезах, толщиной 5-7 мкм, окрашенных гематоксилином и эозином, комбинированной окраской на эластические волокна и коллаген по ван-Гизону, окраской на фибрин хромотропом 2B по методу Пикро – Маллори и на гиалин – тионином и флоксином по методу Маллори [2].

Для оценки целостности эндотелиального слоя проводили его иммуногистохимическое (ИГХ) исследование пероксидазно-антипероксидазным методом с использованием моноклональных антител (АТ) к эндотелиальному антигену CD34 (Novocastra, клон QBEnd/10, RTU). Для ИГХ-исследования материал фиксировали в 10%-ном забуференном формалине. Срезы толщиной 4-5 мкм депарафинировали по стандартной схеме. Инкубация с первичными АТ проводилась после предварительной обработки срезов в микроволновом режиме по методике Гуревич Л.Е. (1999). На следующих этапах применялся KIT фирмы DAKO (Strept AB Complex/HRP Duet, Mouse/Rabbit); в качестве хромогена применялись диамино-бензидин – ДАВ (SIGMA) и АЕС (DAKO), ядра клеток докрашивались гематоксилином Майера.

Морфометрию толщины стенки сосудов, диаметр которых не превышал 100 – 120 мкм, проводили при помощи программы «SigmaScan Pro 5». Измерения проводили по всему периметру сосуда с интервалом между последующими измерениями 20-30 мкм. Итоговый показатель толщины сосудистой стенки является среднеарифметической величиной, полученной при измерении 3-4 сосудов.

Оценка изменений производилась на светооптическом уровне с использованием микроскопа «OLYMPUS». Макро- и микрофотографирование осуществлялось фотоаппаратами «CANON» и «LEICA Wild mps 48». Весь материал, полученный в результате исследований, подвергнут анализу и обработке на персональном компьютере IBM/AT с помощью компьютерных программ «Microsoft Access» версия 2,0; «Microsoft Excel» версия 7,0; «Microsoft Word» версия 7,0. Обработка фотографий осуществлялась с помощью программы «Adobe» версия 6,0. Статистическая обработка полученных результатов проводилась с использованием коэффициента Стьюдента (*t*).

В аутопсийном материале пациента, получившего 10 Гр, обнаружено утолщение стенки всех сосудов (рис. 1), толщина которых в среднем составила $77,04 \pm 26,85$ мкм.

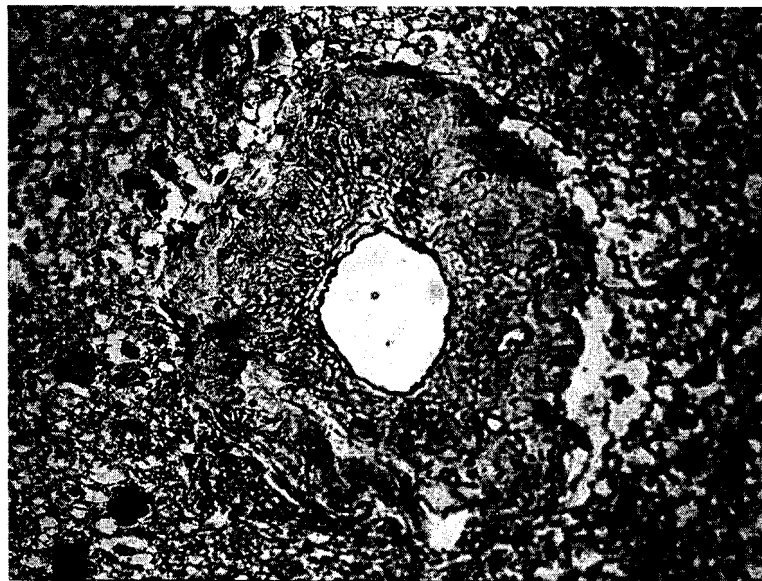


Рис 1. Фрагмент гистологического препарата прилежащей к глиобластоме ткани головного мозга: сосуд мелкого калибра со значительным утолщением стенки (стрелка). Окраска гематоксилином-эозином. Ув. 400.

В аутопсийном материале пациента, умершего через 3 месяца после завершения лучевой терапии в дозе 60 Гр, толщина сосудистой стенки в среднем составила $36,29 \pm 11,93$ мкм, что достоверно меньше, чем в предыдущем наблюдении ($p < 0,001$). При этом отмечается выраженное внутристеночное отложение фибрина.

В операционном материале пациента с рецидивом глиобластомы, получившего лучевое лечение 6 месяцев назад в СОД 60 Гр, толщина сосудистой стенки в среднем составила $25,5 \pm 3,61$ мкм и достоверно не отличалась от результатов измерения сосудов через 3 месяца после облучения. Пропитывание стенок сосудов фибрином по своей интенсивности не изменилось по сравнению с предыдущим исследованием. Там же выявлено очаговое отложение гиалина.

В аналогичном случае через 12 месяцев после облучения толщина сосудистой стенки в среднем составила $27,77 \pm 13,42$ мкм, что достоверно не отличается от предыдущего наблюдения ($p < 0,05$). При этом фиксируются незначительное, очаговое отложение фибрина и гиалина, а также умеренный склероз сосудистой стенки.

Через 18 месяцев после лучевой терапии толщина сосудистой стенки в среднем составила $39,48 \pm 3,52$ мкм, что достоверно выше, чем в двух вышеприведенных наблюдениях ($p < 0,001$). Характерны немногочисленные очаговые отложения фибрина и гиалина. В то же время был отмечен выраженный равномерный склероз сосудистой стенки.

Толщина сосудистой стенки в контроле в среднем составила $28,23 \pm 3,94$ мкм (рис. 2), при этом отмечается диффузное отложение фибрина. Признаков гиалиноза и склероза сосудистой стенки не выявлено.



Рис 2. Фрагмент гистологического препарата ткани головного мозга до лучевой терапии (контроль). Представлен сосуд мелкого калибра с периваскулярным ростом глиобластомы. Окраска гематоксилином-эозином. Ув. 400.

Все исследованные сосуды – с зиянием просвета и сохраненной эндотелиальной выстилкой.

В процессе выполнения облучения пациентам с онкопатологией головного мозга изменения возникают не только в опухоли, но и в окружающих опухоль тканях. Установлено, что изменения в стенке сосудов являются одним из основных элементов повреждения здоровых тканей, а также вероятной причиной самого серьезного осложнения в ходе проведения лучевой терапии – лучевого некроза вещества мозга [7]. В эксперименте установлено, что уже через 1 час после облучения в дозе 2-20 Гр возникает дилатация сосудов головного мозга. Через сутки формируются «набухание» стенки сосуда и периваскулярный отёк, свидетельствующие о нарушении проницаемости гематоэнцефалического барьера. В более поздние сроки в значительной степени редуцируется капиллярная сеть, что приводит к шунтированию крови по крупным сосудам [7].

В нашей работе мы сконцентрировали внимание, во-первых, на изменении толщины стенок сосудов головного мозга, возникающем в ответ на их облучение в ходе проведения пациентам с глиобластомой головного мозга радикального курса лучевой терапии, во-вторых, мы попытались установить хронологию указанного выше лучевого патоморфоза.

Мы установили, что у пациентов с глиобластомой головного мозга уже в самом начале лучевой терапии толщина сосудистой стенки увеличивается практически в 2 раза по сравнению с контролем уже на СОД – 10 Гр. Утолщение сосудистой стенки происходит за счет её пропитывания плазменными белками, что становится возможным при повреждении гематоэнцефалического барьера, основой которого

II. СОВРЕМЕННЫЕ МЕДИЦИНСКИЕ ТЕХНОЛОГИИ

является нарушение целостности эндотелия. Некоторые авторы считают, что в основе этих нарушений лежит уменьшение количества эндотелиоцитов [11]. Однако мы не зафиксировали таких изменений.

По нашим данным, через 3 месяца после облучения толщина стенки мелких сосудов мозга существенно уменьшается, но остается больше, чем в контроле. Через 6 месяцев толщина стенки сосудов нормализуется и сохраняется в нормальных пределах и через 12 месяцев.

Вышеприведённые данные, по нашему мнению, свидетельствуют о том, что нарушение гематоэнцефалического барьера вследствие облучения, выражющееся в повышении проницаемости эндотелия сосудов, приводит как к плазматическому пропитыванию стенки сосуда мозга, что, собственно, и является причиной увеличения её толщины. Однако через 6 месяцев после облучения показатели толщины сосудистой стенки возвращаются к своим исходным значениям, что, по-видимому, свидетельствует о нормализации состояния гематоэнцефалического барьера.

В тоже время, данные исследования, проведенного через 18 месяцев после облучения, демонстрируют остающееся утолщение сосудистой стенки, что может свидетельствовать о все ещё сохраняющихся нарушениях гематоэнцефалического барьера.

Хронология лучевых изменений, возникающих в стенках сосудов головного мозга при лучевой терапии, позволяет уточнить сроки их возникновения. Нами установлено, что отложение фибрином может иметь место и в сосудах головного мозга пациентов с глиобластомой, не получавших лучевую терапию. Это может быть следствием нарушения гематоэнцефалического барьера в результате секреции опухолью эндотелиального фактора роста [9]. Эти же причины могут обуславливать и формирование периваскулярного отёка. Через 3, 6 месяцев после завершения облучения тотальное пропитывание стенки сосудов фибрином наблюдается во всех исследованных сосудах. Через 12 месяцев пропитывание фибрином становится менее интенсивным. Лишь через 18 месяцев после облучения в стенке сосудов обнаруживаются только очаговые отложения фибрином, что свидетельствует о прекращении плазматического пропитывания. Отсутствие фибрином через 18 месяцев, по-видимому, обусловлено склерозом сосудов.

Образование гиалина в стенках сосудов нами обнаружено только через 6 месяцев после завершения облучения. По истечении 12 месяцев этот процесс продолжает иметь место. В эти же сроки, то есть на фоне продолжающегося гиалиноза сосудов, нами обнаружены признаки склероза сосудистой стенки.

Через 18 месяцев реакция на гиалин слабоположительная только в единичных сосудах, что свидетельствует о завершении в эти сроки процесса гиалиноза сосудистой стенки. Наблюдается тотальный склероз стенок сосудов.

II. СОВРЕМЕННЫЕ МЕДИЦИНСКИЕ ТЕХНОЛОГИИ

Таким образом, нам, на клиническом материале, удалось не только количественно оценить степень нарушения проницаемости гематоэнцефалического барьера в ответ на облучение, выражющееся в увеличении показателей, характеризующих толщину стенок сосудов головного мозга, но и уточнить хронологию последовательно возникающих в них повреждений, начинающихся с отложения фибрина и заканчивающихся склерозом стенок сосудов.

Полученные нами данные должны обязательно учитываться при проведении лучевой терапии пациентам с опухолями головного мозга, в процессе амбулаторного наблюдения за ними, а также при решении вопроса о тактике лечения рецидивов у этой категории больных.

ЛИТЕРАТУРА

1. Гуревич Л.Е., Исаков В.А. // Арх. пат. – 1999. - №. 2. – С. 48-50.
2. Меркулов Г.А. Курс патологической техники. – Л., 1961. – 339 с.
3. Arcicasa M., Roncadin M., Bidoli T. et al. // Int. J. Radiat. Oncol. Biol. Phys. – 1999. – V. 43, № 4. – P. 789-793.
4. Brada M., Hoang-Xuan K., Rampling R. et al. // Ann. Oncol. – 2001. – V. 12, № 2. – P. 149-50.
5. Brandes A.A., Pasetto L.M., Monfardini S. // Anticancer Res. – 2000. – V. 20, № 3B. – P. 1913-1920.
6. DeAngelis L.M. // N. Engl. J. Med. – 2001. – V. 344, № 2. – P. 114-123.
7. Dimitrievich G.S., Fischer-Droga K., Griem M.L. // Radiol. reserch. – 1984. – V. 99, № 3. – P. 511-535.
8. Gil-Salu J.L., Roman P., Benitas E. et al. // Neurocirurgia (Astur). – 2004. – V. 15, № 2. – P. 144-150.
9. Kalkanis S.N., Carroll R.S., Zhang J., Zamani A.A. // J. Neurosurg. – 1996. – V. 85, № 6. – P. 1095-1101.
10. Kumar A.J., Leeds N.E., Fuller G.N. et al. // Radiology. – 2000. – V. 217, № 2. – P. 377 – 384.
11. Li Y., Chen P., Haimovitz-Friedman A. et al. // Cancer Res. – 2003. – V. 63. – P. 5950-5956.
12. Munter M.W., Karger K.P., Reith W. et al. // Radiology. – 1999. – V. 212, № 2. – P. 475-482.
13. Nelson D.F., Urtasun R.C., Saunders W.M. et al. // CA. – 1993. – V. 4, № 5. – P. 46-55.
14. Yung W.K., Albright R.E., Olson J. et al. // Br. J. Cancer. – 2000. – V. 83, № 5. – P. 588-593.

ПРИМЕНЕНИЕ АНТИБИОТИКА «ОКАЦИН» (ЛОМЕФЛОКСАЦИН) ДЛЯ ПРОФИЛАКТИКИ ПОСЛЕОПЕРАЦИОННЫХ ИНФЕКЦИЙ

П.А. Бездетко, Е.В. Власко

*Харьковский государственный медицинский университет,
г. Харьков, Украина*

В современной офтальмологической практике одним из распространенных заболеваний является катаракта. При проведении операции по поводу катаракты, будь то простая экстракапсуллярная экстракция, факоэмульсификация или лазерная экстракция катарак-